TOM 30

ИЮНЬ, 1989

выпуск 3

УДК:524.35

СТРУКТУРА ОСТАТКА СВЕРХНОВОЙ 3C 58 И ЕГО ОКРЕСТНОСТЕЙ

Г.Г.АЙВАЗЯН, А.М.АСЛАНЯН, А.Г.ГУЛЯН, В.П.ИВАНОВ, Р.М.МАРТИРОСЯН, К.С.СТАНКЕВИЧ, С.П.СТОЛЯРОВ

> Поступила 14 сентября 1988 Принята к печати 1 февраля 1989

Получено изображение остатка сверхновой 1181г. на длине волны 5 см с разрешением 2'.7. Исследованы окрестности вокруг источника с радиусом 30' и не обнаружено излучений с плотностью потока, больших 3 σ =270 мЯн/луч, которые можно интерпретировать как гало. На периферии туманности возможно увеличение спектрального индекса.

Радиоисточник 3С 58 является остатком сверхновой 1181 г. В центре его обнаружен компактный рентгеновский источник, возможно нейтронная звезда. По радиоструктуре и спектру 3С 58 аналогичен Крабовидной туманности и может быть отнесён ко второму типу остатков. У большинства объектов этого типа имеется четко выраженная оболочка, формирующаяся при взаимодействии ударной волны с межзвёздной средой. У 3С 58 такой оболочки не наблюдали. Высказывались предположения [1,2], что большая часть массы предсверхновой выброшена при взрыве и движется в межзвездной среде со скоростью 5000 — 12000 км/с, формируя за пределами источника слабое гало. Авторы работы [3] на частоте 1446 МГц вокруг источника такой структуры не обнаружили в радиусе 12′.

В настоящей работе сообщается об исследованиях структуры и окрестностей источника 3С 58 на длине волны λ =5см, выполненных с помощью радиотелескопа РТ-70 [4] в июне 1987г. На этой длине волны диаграмма антенны симметрична и равна 2′.7 на уровне половинной мощности. Флуктуационная чувствительность радиотелескопа составляла 50 мЯн/луч. Калибровка радиотелескопа проводилась по источнику 3С 295, его плотность потока S (6 $\Gamma\Gamma$ ц)=5.0 Ян в абсолютной радиоастрономической шкале [5].

На рис. 1 нанесено изображение источника 3С 58 в координатах α и δ, приведённых на эпоху 1950.0. В первом приближении изображение может быть представлено эллипсом, ориентированным в картинной плоскости с позиционным углом 94°. Измерения проведены на одной поляризации, близкой к направлению север-юг в картинной плоскости. Максимум интен-

сивности совпадает с центром источника и поток равен 10 Ян/луч. Поскольку в центре поляризация излучения отсутствует [6], то приведённая величина представляет полный поток в центре. Наружный контур изофот

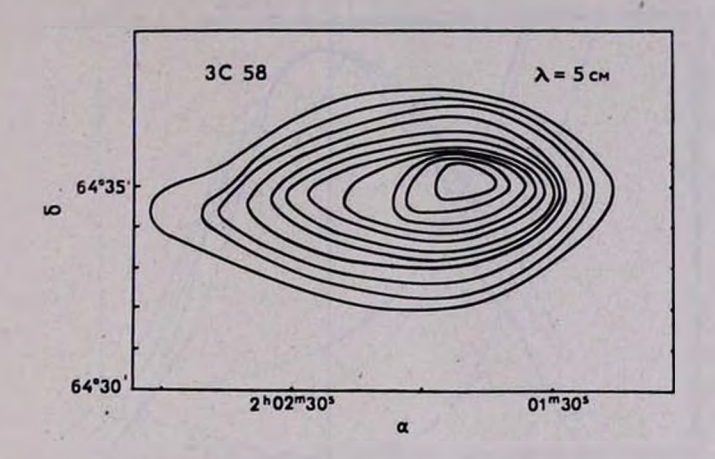


Рис. 1. Карта радиоизофот 3С 58 на волне 5 см. Крайняя изофота соответствует 0.02 от максимального уровня, следующая — 0.05, затем — 0.1 и далее через 0.1.

соответствует 2% уровню от максимальной интенсивности. Размеры остатка СН по малой и большой осям эллипса на малых уровнях даны в таблице 1.

Таблица 1

Уровень интенсивности (в %)	Малая ось(сек.дуги)	Большая ось (сек.дуги)
2	320	690
5 [.]	290	590
10	250	540
50	135	350

При расстоянии до туманности 2.6 кпк [7] ее размеры на уровне 2% равны 4.1×8.7 пк, что порядка измеренных ранее $(4.5 \times 7.6$ пк) [6], но на уровне 10%.

На рис.2 приведено распределение яркости по источнику вдоль малой оси, на котором также нанесены распределения, полученные из радиокарт на частотах 151 и 2695 МГц[11], 1420 и 2880 МГц [6]. Графики на рис.2 показывают некоторую частотную зависимость крупномасштабной структуры: на уровнях интенсивности, меньших 0.5, размеры источника на часто-

тах 6000 МГц и 151 МГц отличаются на 20-30 сек. дуги, увеличиваясь в сторону низких частот, однако не исключено, что это различие объясняется ошибками при синтезе изображений.

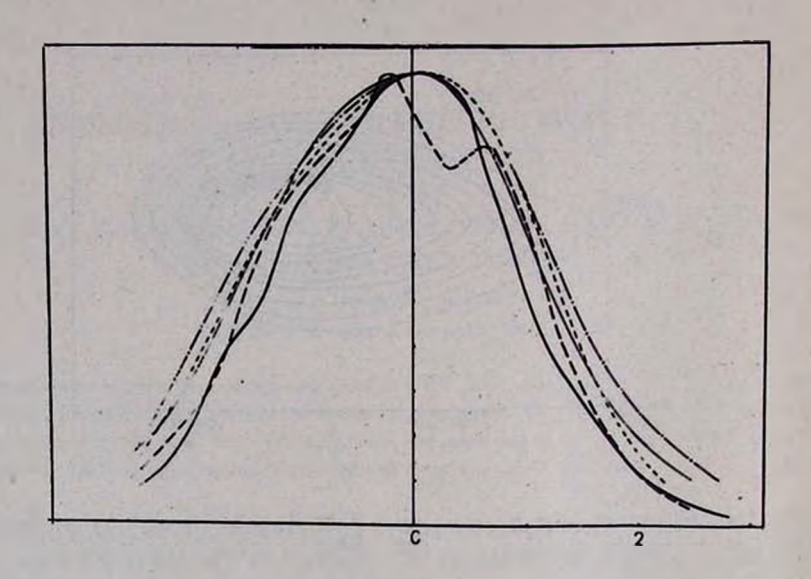


Рис. 2. Распределение яркости 3С 58 по малой оси: —— на 1420 МГц [6]; —— на 2880 МГц [6]; —— на 150 МГц[11]; —— на 2695 МГц [11]; - на 6000 МГц [наст. работа].

Окрестности 3С 58 были исследованы при сканировании антенны с 3' интервалом области с центром, совпадающим с центром источника, по $\pm \Delta \delta = 30'$ и по $\Delta \alpha = \frac{+4.6 \text{min}(30')}{-2.7 \text{min}(-18')}$.

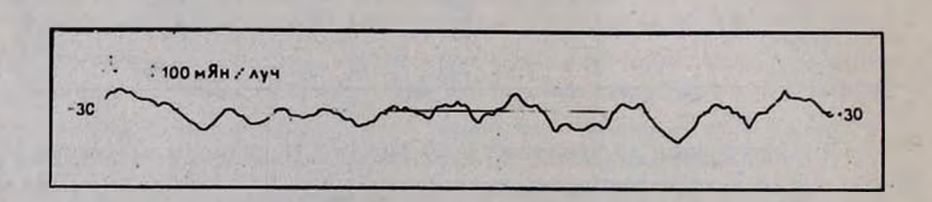


Рис.3. Пример ваписи скана в окрестности 3С 58 на $\lambda=5$ см.

Ивмеренное среднеквадратичное отклонение на сканах составляет σ=90 мЯн/луч. Пример записи скана приведен на рис.3. В исследованной

площадке не обнаружены протяженные структуры с поверхностной яркостью $\Sigma \sim 10^{-21}$ или отдельные детали, от которых поток превышал бы $3\sigma = 270$ мЯн/луч и которые можно интерпретировать как гало или его остаток.

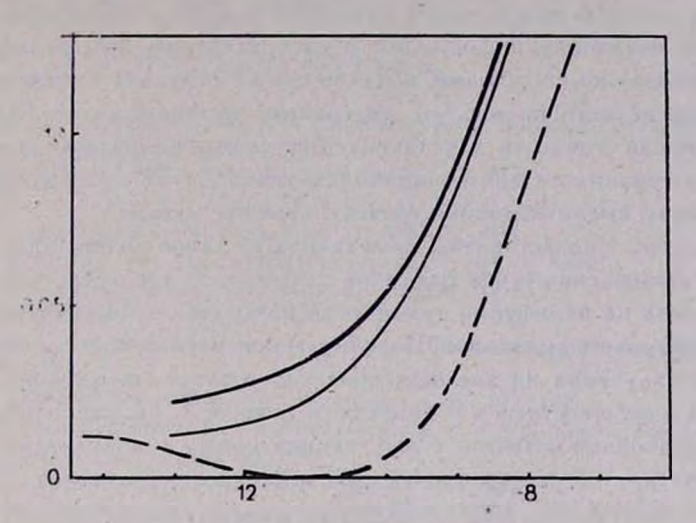


Рис.4. Край скана 3С 58. $_{\sim}$ скан на $\lambda=18$ см; —— скан, полученный при свертке радиоизображения на $\lambda=5$ см с диаграммами на $\lambda=18$ см; ——— диаграмма антенны на $\lambda=18$ см.

Реальная чувствительность радиотелескопа 90 мЯн/луч почти в 2 раза хуже флуктуационного порога (50 мЯн/луч). 3С 58 находится в 3^{0} от плоскости Галактики (Z=140 пк), повтому мы не исключаем, что причиной ухудшения чувствительности являются вариации антенной температуры из-за теплового излучения НІІ-областей. Соответствующий уровню 3σ верхний предел поверхностной яркости $\Sigma(6\Gamma\Gamma_{\rm U}) \leq 2.7 \cdot 10^{-21} {\rm Br/m}^2 \Gamma_{\rm U}$ ср. В [3] на 1446 МГ $_{\rm U}$ получена $\Sigma < 0.47 \cdot 10^{-21} {\rm Br/m}^2 \Gamma_{\rm U}$ ср, в круге с радиусом около 12'. До этих границ расширилась бы оболочка, если материя предсверхновой разлеталась со скоростью 5000 км/с. Наши измерения охватывают в 4 раза большую площадь, что исчерпывает весь возможный интервал скоростей.

Из статистических моделей для $\Sigma-D$ зависимости у остатков сверхновых следует, что на частоте 6 $\Gamma\Gamma_{\psi}$ по модели [8] $\Sigma_0(6\Gamma\Gamma_{\psi})=$ = $-70\cdot 10^{-21} \mathrm{Br/m^2}\Gamma_{\psi}$ ср. и по модели [9] $\Sigma_0(6\Gamma\Gamma_{\psi})=42\cdot 10^{-21} \mathrm{Brm^2}\Gamma_{\psi}$ ср. В среднем вти величины примерно в 20 раз превышают измеренную поверхностную яркость, подобное превышение было отмечено для Крабовидной туманности [10].

На периферии Крабовидной туманности была обнаружена оболочка,

по светимости и спектру типичная для молодых остатков сврхновых [$\overline{10}$]. Остаток сверхновой 1181г. по структуре подобен Крабу, и повтому нами были проведены исследования радиоизлучения на периферии этого объекта. С этой целью на радиотелескопе РТ-70 на длине волны $\lambda=18$ см были сделаны сканы в направлении, близком большой и малой осям источника. С целью получения информации о распределении спектрального индекса они сравнивались со сканами, полученными в результате свёртки изображения, приведённого на рис.1, с диаграммой антенны на $\lambda=18$ см.

 Λ учшая точность восстановления скана по свертке получена для NE-края туманности при позиционном угле PA=77°.5, поскольку диаграмма антенны имела меньший уровень первого лепестка.

На рис. 4 представлены края сканов на длине волны 18см: измеренного и восстановленного. Их различие свидетельствует о том, что относительная яркость на периферии туманности на $\lambda=18$ см несколько больше, чем в сантиметровом диапазоне. Поэтому вероятно возрастание спектрального индекса излучения во внешних областях остатка сверхновой.

На северо-востоке, в 9 минутах от центра 3С 58, расположен внегалактический двойной источник с расстоянием между компонентами 35". Источник имеет крутой спектр $\alpha=1.4\pm0.1$ и плотность потока на 2.7 ГГц равна 0.029 ± 0.003 Ян[11]. На $\lambda=18$ см его вклад в плотность потока равен $S_{\ell} \leqslant 0.06$ Ян, поэтому его влиянием нельзя объяснить подъём края скана на 1%, т.е. на 0.3 Ян.

При повиционном угле PA=257 0 ,5 измеренный и воєстановленный сканы полностью совпали.

В [12] при синтезе изображения на частотах 1420 МГц и 2880 МГц получено (с ошибкой, превосходящей сами величины спектральных индексов) увеличение крутизны спектра в северных и восточных наружных частях туманности. Наши измерения подтверждают реальность этого эффекта, но вопрос о существовании слабой радиооболочки, окружающей плерион, остаётся открытым.

Институт радиофизики и влектроники АН Арм. ССР НИИРФИ, г.Горький

A STRUCTURE OF 3C 58 SUPERNOVA REMNANT AND ITS NEIGHBOURHOOD

H.H. AYJVAZIAN. A.M. ASLANIAN, A.G.GULIAN, V.P. IVANOV. R.M., MARTIROSIAN, K.S. STANKEVICH, S.P. STOLYAROV

The image of supernova remnant of 1181 at 5 cm with resolution 2.77 is obtained and the neighbourhood of source with radius 30' is investigated.

No radiation with flux greater than 3 σ =270 mJy/ beam were registered which could be interpreted as halo. At the outer parts of the nebula an increase of the spectral index is possible.

ЛИТЕРАТУРА

- 1. R.A.Chevalier, in «Supernovae», ed. D.N.Schramm, Reidel, Dordrecht, 1977, p.53.
- 2. И.С.Шкловский, Астрон.ж., 55, 726, 1978.
- 3. S.P.Reynolds, H.D.Aller, Astron. J., 90, 2312, 1985.
- А.М.Асланян, А.Г.Гулян, А.Н.Козлов, В.Б.Тарасов, Р.М.Мартиросян, В.А.Гришмановский, Б.Г.Сергеев, Изв.вузов. Радиофиз., 27, №5,543, 1984.
- 5. В.П.Иванов, К.С.Станкевич, Изв. вузов. Радиофиз., 29, №1, 3, 1986.
- 6. A.S. Wilson, K.W. Weiler, Astron. and. Astrophys., 53, 89, 1976.
- 7. D.A. Green, S.F. Gull, Nature, 299, 606, 1982.
- Т.А. Лозинская, Сверхновые звезды и звёздный ветер. Взаимодействие с газом Галактики, Наука, М., 1986.
- 9. J.L.Caswell, I.Lerche, Mon. Notic. Roy. Astron. Soc., 182, 201, 1979.
- 10. М.И.Агафонов, А.М.Асланян, А.Г.Гулян, В.П.Иванов, Р.М.Мартиросян, К.С.Станкевич, С.П.Столяров, Астрон. ж., 64, 60, 1987.
- 11. D.A. Green, Mon. Notic. Roy. Astron. Soc., 218, N3, 533, 1986.
- 12. K.W. Weiler, G.A. Seielstad, Astrophys. J., 163, N3, 455, 1971.
- 13. T. Velusamy, Mon. Notic. Roy. Astron. Soc., 212, 359, 1985.
- 14. N.S. Wilson, K.W. Weiler, Nature, 300, 155, 1982.